

# Math-Net.Ru

Общероссийский математический портал

Б. В. Пупышев, Длина и эффективный радиус двумерного рассеяния квантовой частицы центральным короткодействующим потенциалом,  
*TMF*, 2014, том 180, номер 3, 342–367

<https://www.mathnet.ru/tmf8582>

Использование Общероссийского математического портала Math-Net.Ru подразумевает, что вы прочитали и согласны с пользовательским соглашением  
<https://www.mathnet.ru/rus/agreement>

Параметры загрузки:

IP: 216.73.216.37

14 декабря 2025 г., 19:42:23



© 2014 г.

В. В. Пупышев\*

ДЛИНА И ЭФФЕКТИВНЫЙ РАДИУС  
ДВУМЕРНОГО РАССЕЯНИЯ  
КВАНТОВОЙ ЧАСТИЦЫ ЦЕНТРАЛЬНЫМ  
КОРОТКОДЕЙСТВУЮЩИМ ПОТЕНЦИАЛОМ

Дан вывод и качественный анализ нелинейных и линейных уравнений, предназначенных для вычисления длины рассеяния и эффективного радиуса. Найдены и исследованы точные решения этих уравнений в случае центрального потенциала прямоугольной формы. Выявлена связь между эффективным радиусом и длиной рассеяния. Особое внимание уделено случаям нулевой и неограниченной длины рассеяния.

**Ключевые слова:** двумерное рассеяние, короткодействующий потенциал, длина рассеяния, эффективный радиус.

DOI: 10.4213/tmf8582

## 1. ВВЕДЕНИЕ

Понятия длины рассеяния и эффективного радиуса широко применяются в теории трехмерного потенциального рассеяния [1]–[5]. В ядерную физику низких энергий [6] эти понятия ввел Бете [7].

В настоящее время развитие теории двумерного потенциального рассеяния стимулируется выдающимися успехами экспериментальной физики ультрахолодных газов в магнитооптических ловушках различных конфигураций [8]–[11], в частности в дискообразных ловушках. Экспериментально достижимая температура газа настолько мала, что в такой ловушке длина де Бройля [1] частицы газа сравнима с поперечным размером диска-ловушки. Поэтому квантовое движение частиц газа в основном происходит в плоскости, проходящей через края диска. Изменяя внешнее электромагнитное поле, создающее такую ловушку, удается удерживать в ней заданное четное число атомов и управлять парными взаимодействиями между ними. Минимальное число атомов, запертых в диске-ловушке и движущихся в плоскости, равно двум [11]. В системе центра масс таких ультрахолодных атомов квантово-

---

\*Объединенный институт ядерных исследований, Дубна, Московская обл., Россия.  
E-mail: pupyshev@theor.jinr.ru

механическая задача об их относительном движении сводится к задаче о медленном движении одной квантовой частицы в двумерной плоскости. Длина рассеяния и эффективный радиус являются универсальными (не зависящими от формы потенциала) характеристиками такого движения. Поэтому их исследование представляется актуальной задачей современной теории двумерного рассеяния.

Длина и эффективный радиус двумерного рассеяния квантовой частицы центральным короткодействующим потенциалом были исследованы многими авторами (см., например, работы [5], [12]–[21]). Тем не менее квантово-механический анализ этих фундаментальных характеристик низкоэнергетического рассеяния далек от завершения. В частности, не выведены уравнения для функций, обладающих прозрачным физическим смыслом и определяющих значения длины рассеяния и эффективного радиуса; открытыми остаются вопросы о связи эффективного радиуса с длиной рассеяния и о переопределении этих параметров в случаях их нулевых или бесконечно больших по модулю значений; ни для какого потенциала неизвестны представления длины рассеяния и эффективного радиуса через элементарные или специальные функции.

Главная цель настоящей работы – восполнить эти недостатки современной теории двумерного рассеяния. В разделе 2 собраны основные определения. В разделе 3 дан вывод и качественный анализ уравнений для вспомогательных функций, значения которых в пределе их бесконечно большого аргумента являются длиной рассеяния и эффективным радиусом. В разделе 4 найдены и исследованы точные решения полученных уравнений в случае потенциала прямоугольной формы. В разделе 5 эти же уравнения использованы для расчета длины и эффективного радиуса двумерного рассеяния нейтрона на протоне в случае  $^1S_0$ -потенциала Рида с мягким кором [6]. В разделе 6 исследованы случаи нулевой и неограниченно большой по модулю длины рассеяния и в этих случаях предложены новые определения длины рассеяния и эффективного радиуса. Основные результаты, полученные в разделах 3–6, перечислены в заключении.

## 2. ОСНОВНЫЕ ПОЯСНЕНИЯ И ОПРЕДЕЛЕНИЯ

Начнем с физических предположений. Предположим, что квантовая частица  $p_1$  имеет массу  $m_1$  и движется лишь в двумерной плоскости  $\mathcal{P}$  ее координатного пространства  $\mathbb{R}^3$ . Считаем, что некоторая неподвижная точка  $O$  этой плоскости является силовым центром, действующим на частицу  $p_1$  посредством потенциала  $V$ , который зависит только от обезразмеренного расстояния  $x$  между точкой  $O$  и этой частицей и подчинен следующим условиям:

$$V(x) \in C^0(0, \infty), \quad \lim_{x \rightarrow 0} x^2 |V(x)| = 0, \quad \lim_{x \rightarrow \infty} x^n |V(x)| = 0, \quad n = 0, 1, 2, \dots . \quad (1)$$

Такой потенциал принято называть центральным, слабосингулярным в нуле, непрерывным на всей полуоси  $x > 0$  и короткодействующим [5]. Отметим, что условие непрерывности можно ослабить: в области  $0 < x < \infty$  потенциал  $V(x)$  может быть кусочно-непрерывной функцией с конечным числом точек разрыва первого рода. Пример такой функции – потенциал прямоугольной формы  $V(x) = V_0 \theta(b - x)$ , где константы  $V_0 \neq 0$  и  $b > 0$ , а  $\theta(b - x)$  – функция Хевисайда, равная единице при  $x \leq b$  и нулю в противном случае.

Теперь перечислим известные в теории двумерного рассеяния [5], [21]–[23] следствия сделанных выше предположений о потенциале. В поле центрального потенциала  $V(x)$  полный набор квантовых чисел частицы  $p_1$  состоит из ее обезразмеренного волнового числа  $q$  и дискретного числа  $\lambda$ , принимающего любые полуцелые значения начиная с  $-1/2$ . При условиях (1) радиальная волновая функция  $u_\lambda(x; q) = \langle x|q, \lambda\rangle$  состояния рассеяния  $|q, \lambda\rangle$ ,  $q > 0$ , определяется как регулярное (ограниченное на всей полуоси  $x > 0$ ) решение одномерного уравнения Шредингера

$$[\partial_x^2 + q^2 - \lambda(\lambda + 1)x^{-2} - V(x)]u_\lambda(x; q) = 0, \quad x > 0, \quad (2)$$

с начальным условием

$$u_\lambda(x; q) \sim (qx)^{\lambda+1}, \quad qx \rightarrow 0, \quad (3)$$

и асимптотикой

$$u_\lambda(x; q) \rightarrow \sin\left(qx - \frac{\pi\lambda}{2} + \delta_\lambda(q)\right), \quad \frac{qx}{|\lambda|} \rightarrow \infty. \quad (4)$$

Величины  $\delta_\lambda(q)$  и  $\sigma_\lambda(q)$  называются парциальными фазой и сечением упругого рассеяния в состоянии  $|q, \lambda\rangle$ . Сечение  $\sigma_\lambda(q)$  вычисляется по формулам [5], [21]

$$\sigma_\lambda(q) \equiv \frac{\sigma_\lambda^u(q)}{\operatorname{ctg}^2 \delta_\lambda(q) + 1}, \quad \sigma_\lambda^u(q) \equiv \frac{4}{q}(2 - \delta_{2\lambda, -1}). \quad (5)$$

Здесь и далее  $\delta_{i,j}$  – символ Кронекера. При любом  $q \geq 0$  сечение  $\sigma_\lambda(q)$  не превышает своего унитарного предела  $\sigma_\lambda^u(q)$ . Предел  $q \rightarrow +0$  называется пределом низких энергий.

В случае центрального короткодействующего потенциала физические и математические причины, обуславливающие существенное отличие двумерного рассеяния от трехмерного, детально обсуждались в работах [5], [12]–[26], причем разными способами.

Предложим еще один подход к выявлению этих причин. Сначала с помощью формулы  $\ell = \lambda + 1/2$  каждому полуцелому значению квантового числа  $\lambda = -1/2, 1/2, \dots$  поставим в соответствие целое число  $\ell = 0, 1, \dots$ . Далее заметим, что после замены  $\lambda \mapsto \ell$  краевая задача Шредингера (2)–(4) становится краевой задачей для радиальной волновой функции  $u_\ell(x; q)$  трехмерного рассеяния квантовой частицы  $p_1$  потенциалом  $V(x)$  в состоянии  $|q, \ell\rangle$  с волновым числом  $q$  и угловым моментом  $\ell$  (см. монографию [3]). Положим

$$\begin{aligned} V_\lambda(x) &\equiv \frac{\lambda(1 + \lambda)}{x^2}, & V_\ell(x) &\equiv \frac{\ell(1 + \ell)}{x^2}, \\ V(x; \lambda) &\equiv V(x) + V_\lambda(x), & V(x; \ell) &\equiv V(x) + V_\ell(x). \end{aligned} \quad (6)$$

Согласно радиальному уравнению Шредингера (2) можно считать, что двумерное или трехмерное рассеяние квантовой частицы  $p_1$  в состояниях  $|q, \lambda\rangle$  или  $|q, \ell\rangle$  порождается соответствующими эффективными потенциалами  $V(x, \lambda)$  или  $V(x, \ell)$ . Сравним эти потенциалы и их компоненты.

При значении  $\lambda = -1/2$  притягивающему (центростремительному) потенциалу  $V_\lambda(x) = -1/(2x)^2$  в трехмерном, а именно  $S$ -волновом ( $\ell = 0$ ), рассеянии соответствует тождественно равный нулю потенциал  $V_\ell(x) \equiv 0$ . Для всех остальных значений квантовых чисел  $\lambda \geq 1/2$  и  $\ell = \lambda + 1/2$  оба потенциала  $V_\lambda(x)$  и  $V_\ell(x)$  являются отталкивающими (центробежными) потенциалами и подчиняются неравенству  $V_\lambda(x) < V_\ell(x)$  при  $x > 0$ . Это неравенство и определения (6) порождают соотношения  $V(x, \lambda) < V(x, \ell)$  для  $x > 0$ , справедливые при любом потенциале  $V(x)$  и любом значении  $\lambda \geq -1/2$ . Вследствие этого действие одного и того же потенциала  $V(x)$  на движение квантовой частицы  $p_1$  оказывается более сильным в состоянии двумерного рассеяния  $|q, \lambda\rangle$ , чем в состоянии трехмерного рассеяния  $|q, \ell\rangle$ . Этот вывод можно сформулировать иначе: если  $2\lambda \geq 1$ , то потенциал  $V(x)$  в двумерном рассеянии экранируется потенциалом  $V_\lambda(x)$  гораздо слабее, чем потенциалом  $V_\ell(x)$  в трехмерном рассеянии.

Отмеченный факт имеет три физически важных следствия, которые доказаны в теории дифференциальных уравнений [27] как теоремы об оценках. Сформулируем первое следствие: по крайней мере в области  $0 < x < b$ ,  $b \ll 1$ , небольших расстояний выполняется соотношение  $|u_\lambda(x; q)|^2 > |u_\ell(x; q)|^2$ . Оно означает, что при любом потенциале  $V(x)$  вероятность обнаружить квантовую частицу  $p_1$  в двумерном круге  $x \leq b$  с центром  $O$  больше, чем вероятность нахождения этой же частицы в трехмерном шаре  $x \leq b$  с тем же центром. Обсудим второе следствие. Пусть в поле некоторого (необязательно короткодействующего) потенциала  $V(x)$  квантовая частица  $p_1$  в пространстве  $\mathbb{R}^3$  имеет связанные состояния  $|iQ_n, \ell\rangle$ ,  $Q_n > 0$ ,  $n = 1, 2, \dots, N$ , с энергиями связи  $B_n = Q_n^2$ , причем  $B_1 > B_2 > \dots > B_N$ . Тогда эта частица в плоскости  $\mathcal{P}$  также будет иметь связанные состояния  $|iq_n, \lambda\rangle$ ,  $q_n > 0$ ,  $\lambda = \ell - 1/2$ , с энергиями связи  $b_n = q_n^2$ ,  $b_1 > b_2 > \dots > b_N$ , причем  $b_n > B_n$  для всех  $n = 1, 2, \dots, N$ . Третье следствие звучит так: если при данных  $V(x)$  и  $\ell$  в пространстве  $\mathbb{R}^3$  квантовая частица  $p_1$  не имеет связанных состояний, то при том же потенциале и при  $\lambda = \ell - 1/2$  эта частица в плоскости  $\mathcal{P}$  может иметь связанные состояния.

Приведем физически интересные примеры указанных выше следствий.

**ПРИМЕР 1.** Пусть  $V(x) = 1/x$  – отталкивающий кулоновский потенциал,  $\lambda = -1/2$  и  $\ell = 0$ . Тогда имеют место асимптотики [17], [18]

$$|u_{-1/2}(x; q)|^2 \sim C_{-1/2}^2(\eta)x, \quad |u_0(x; q)|^2 \sim C_0^2(\eta)x^2, \quad x \rightarrow 0,$$

в которых кулоновские барьерные множители определены формулами

$$C_{-1/2}^2(\eta) \equiv \frac{\pi}{e^{2\pi\eta} + 1}, \quad C_0^2(\eta) \equiv \frac{2\pi\eta}{e^{2\pi\eta} - 1}, \quad \eta = \frac{1}{2q}.$$

Следовательно, верны неравенства

$$\begin{aligned} |u_{-1/2}(x; q)|^2 &\gg |u_0(x; q)|^2, & x \ll 1, \\ C_{-1/2}^2(\eta) &\ll C_0^2(\eta), & q \ll 1. \end{aligned}$$

Предположим, что в точке  $O$  находится ядро  $A$ , а наша квантовая частица  $p_1$  тоже является некоторым ядром таким, что возможна экзотермическая реакция слияния

ядер  $A$  и  $p_1$  при низкой энергии  $q^2$  их столкновения в поле кулоновского отталкивающего потенциала  $V(x) = 1/x$ . В силу приведенных выше неравенств вероятность такой реакции в плоскости  $\mathcal{P}$  будет намного больше, чем в  $\mathbb{R}^3$ .

**ПРИМЕР 2.** Пусть  $V(x) = -1/x$  – притягивающий кулоновский потенциал. Тогда при одном и том же главном квантовом числе  $n = 1, 2, \dots$  энергии связи  $B_n$  и  $b_n$  квантовой частицы  $p_1$  в пространстве  $\mathbb{R}^3$  и в плоскости  $\mathcal{P}$  определяются формулой [1]  $B_n = n^{-2}$  и формулой [28]  $b_n = (n - 1/2)^{-2}$ . Следовательно,  $b_n > B_n$  при любом  $n$ . Предположим, что в точке  $O$  расположен протон  $p$ , частица  $p_1$  является электроном  $e^-$ , а взаимодействие в системе  $\{e^-, p\}$  исчерпывается кулоновским притяжением  $V(x) = -1/x$ . Положив  $\lambda = -1/2$ ,  $\ell = 0$  и  $n = 1$ , убеждаемся в том, что энергии связи  $b_1$  и  $B_1$  основного состояния системы  $\{e^-, p\}$  в  $\mathcal{P}$  и в  $\mathbb{R}^3$  связаны равенством  $b_1 = 4B_1$ .

**ПРИМЕР 3.** Как известно [24], в случае  $2\lambda = -1$  при любом сколь угодно слабом, но притягивающем короткодействующем потенциале  $V(x)$  квантовая частица  $p_1$  в плоскости  $\mathcal{P}$  имеет хотя бы одно связанное состояние. В пространстве  $\mathbb{R}^3$  такой потенциал не порождает ни одного связанного состояния.

Особый случай  $2\lambda = -1$  стоит обсудить более подробно. В этом случае значение  $1/4$  константы центростремительного потенциала  $V_\lambda(x) = -(1/4)x^{-2}$  является критическим в следующем смысле: если ее увеличить на сколь угодно малое, но положительное число, то спектр оператора Шредингера уравнения (2) станет неограниченным снизу и будет возможным падение [1] квантовой частицы  $p_1$  в плоскости  $\mathcal{P}$  на силовой центр  $O$ . Известным следствием [1], [12] наличия такого критического значения является существенная роль потенциала  $-(1/4)x^{-2}$  в пределе  $q \rightarrow 0 + 0$ . В этом пределе для любого короткодействующего потенциала  $V(x)$  старшие слагаемые асимптотик фазы рассеяния  $\delta_{-1/2}(q)$  и соответствующего ей сечения (5) неограниченно возрастают:  $\delta_{-1/2}(q) \sim (2/\pi) \ln q$  и  $\sigma_{-1/2}(q) \sim q^{-1}(\pi/\ln q)^2$ . Для сравнения напомним, что в этом же пределе фаза и сечение  $S$ -волнового трехмерного рассеяния  $\delta_0(q)$  и  $\sigma_0(q)$  сходятся соответственно к произведениям  $-aq$  и  $4\pi a^2$ , которые зависят от потенциала  $V(x)$  посредством конечной константы  $a$ , называемой длиной  $S$ -волнового рассеяния [1]–[6].

Теперь поясним, почему фазы двумерного и трехмерного рассеяния  $\delta_\lambda(q)$  и  $\delta_\ell(q)$  имеют существенно разную функциональную зависимость от волнового числа  $q$ .

Обсуждение фазы двумерного рассеяния начнем со случая  $V(x) \equiv 0$  при  $x \geq 0$ . В этом случае краевая задача (2)–(4) имеет два линейно независимых решения  $j_\lambda(\rho)$  и  $\tilde{n}_\lambda(\rho)$ ,  $\rho \equiv qx$ , связанных с функциями Бесселя  $J_m(\rho)$  и  $Y_m(\rho)$  целого порядка  $m$  формулами

$$j_\lambda(\rho) = \sqrt{\frac{\pi\rho}{2}} J_m(\rho), \quad \tilde{n}_\lambda(qx) = \sqrt{\frac{\pi\rho}{2}} Y_m(\rho), \quad m = \lambda + \frac{1}{2}.$$

Как известно [29], функция  $J_m(\rho)$  может быть представлена как бесконечный ряд по целым степеням ее аргумента, а функция  $Y_m(\rho)$  – как бесконечный ряд, первое слагаемое которого

$$\frac{2}{\pi} \left( \ln \frac{\rho}{2} + \gamma \right) J_m(\rho) = \frac{2}{\pi} \ln x J_m(\rho) + h(q) J_m(\rho)$$

содержит константу Эйлера  $\gamma$  и логарифмическую функцию  $h(q)$  волнового числа  $q$ ,

$$h(q) \equiv \frac{2}{\pi} \left( \ln \frac{\rho}{2} + \gamma \right) = \frac{2}{\pi} \ln \frac{q}{q_0}, \quad q_0 \equiv 2e^{-\gamma} = 1.122918 \dots . \quad (7)$$

Следовательно, разложения функций  $Y_m(\rho)$  и  $\tilde{n}_\lambda(\rho)$  содержат функцию  $h(q)$ .

Рассмотрим случай финитного потенциала. Предположим, что короткодействующий потенциал  $V(x)$  отличен от нуля лишь на отрезке  $0 \leq x \leq b$ ,  $b < \infty$ , и решение  $u_\lambda(x; q) = u^-(x; q)$  задачи (2), (3) известно на этом же отрезке. При условиях (1) в соответствии с теорией Фукса [27] такое решение может содержать только полуцелые степени параметра  $q$ . В области  $x > b$  общее решение задачи (2), (4) содержит фазу рассеяния  $\delta_\lambda(q)$  и имеет вид

$$u_\lambda(x; q) = u^+(x; q) \equiv j_\lambda(x; q) \cos \delta_\lambda(q) - \tilde{n}_\lambda(x; q) \sin \delta_\lambda(q).$$

Условие “шивки” [1], [5] логарифмических производных функций  $u^\pm(x, q)$  в точке  $x = b$  дает представление котангенса фазы рассеяния  $\delta_\lambda(q)$  через функции  $u^-(b, q)$ ,  $j_\lambda(bq)$  и  $\tilde{n}_\lambda(bq)$  аргумента  $q$ . Используя это представление, нетрудно доказать, что в рассмотренном случае финитного потенциала с конечным носителем  $0 \leq x \leq b$  при любом  $\lambda$  функция  $\operatorname{ctg} \delta_\lambda(q)$  является суммой двух слагаемых, одно из которых содержит логарифмическую функцию  $h(q)$ , порожденную разложением функции  $\tilde{n}_\lambda(bq)$ , а второе является бесконечным рядом  $S_\lambda(q)$  по полуцелым степеням аргумента  $q$ .

Такое же утверждение для любого необязательно финитного, но короткодействующего потенциала доказано для случая  $2\lambda = -1$  в работах [14]–[19] и в общем случае  $2\lambda \geq -1$  в работах [20], [21].

Перейдем к обсуждению фазы  $\delta_\ell(q)$  трехмерного рассеяния. В задаче Шредингера сделаем замену  $\lambda \mapsto \ell = \lambda + 1/2$ . В случае  $V(x) \equiv 0$  линейно независимыми решениями  $j_\ell(qx)$  и  $n_\ell(qx)$  получившейся задачи будут известные сферические функции Риккати–Бесселя [29]. Такие функции являются бесконечными рядами по целым степеням аргумента  $\rho$ . Как известно [3], [5], из этого факта следует, что для любого короткодействующего потенциала и при любом  $\ell = 0, 1, \dots$  котангенс фазы  $\delta_\ell(q)$  трехмерного рассеяния есть бесконечный ряд  $S_\ell(q)$  по целым степеням ее аргумента  $q$ , а функция эффективного радиуса  $K^s(q)$  – бесконечный ряд по четным степеням этого же аргумента:

$$K^s(q) \equiv q^{2\ell+1} \operatorname{ctg} \delta_\ell(q) = -\frac{1}{a^s} + \frac{q^2}{2} r_{\text{eff}}^s + \dots .$$

Напомним определения длины и эффективного радиуса трехмерного рассеяния. В теории трехмерного рассеяния [1]–[5], в ядерной [6], атомной и молекулярной физике длиной и эффективным радиусом трехмерного рассеяния квантовой частицы  $p_1$  центральным короткодействующим потенциалом в состоянии  $|q, \ell\rangle$  принято называть коэффициенты  $a^s$  и  $r_{\text{eff}}^s$  разложения функции эффективного радиуса  $K^s(q)$ .

Теперь перечислим все известные к настоящему времени определения длины рассеяния и эффективного радиуса для двумерного рассеяния квантовой частицы  $p_1$  центральным короткодействующим потенциалом в состоянии  $|q, \lambda\rangle$ .

В работах [12], [13] использовались понятия дифференциальной и полной длины рассеяния. Дифференциальной длиной рассеяния в этих работах назван квадрат

модуля амплитуды двумерного рассеяния, а полной длиной рассеяния – интеграл от такого квадрата по углу рассеяния на отрезке  $[0, 2\pi]$ .

В работах [14]–[16] для  $2\lambda = -1$  длина рассеяния  $a'$  и эффективный радиус  $r'_{\text{eff}}$  определялись как константы асимптотики

$$\operatorname{ctg} \delta_\lambda(q) \sim \frac{2}{\pi} \left( \ln \frac{a'q}{2} + \gamma \right) + \frac{q^2}{2} r'_{\text{eff}}, \quad q \rightarrow 0. \quad (8)$$

Следует отметить, что длина рассеяния  $a'$  всегда положительная, и в случае  $2\lambda = -1$  авторам работы [16] удалось получить ограничения на потенциал  $V$ , при которых длина рассеяния  $a'$  и эффективный радиус  $r'_{\text{eff}}$  являются конечными константами.

В том же случае  $2\lambda = -1$  в работах [17], [18] длиной рассеяния  $a''$  и эффективным радиусом  $r''_{\text{eff}}$  названы коэффициенты разложения

$$\operatorname{ctg} \delta_\lambda(q) - \frac{2}{\pi} \left( \ln \frac{q}{2} + \gamma \right) = \frac{2}{\pi} \left( -\frac{1}{a''} + \frac{q^2}{2} r''_{\text{eff}} \right) + \dots$$

по четным степеням аргумента  $q$  и доказано, что для короткодействующего потенциала такое разложение сходится равномерно на всей полуоси  $q > 0$ . Аналогичное определение длины рассеяния  $a''$  и эффективного радиуса  $r''_{\text{eff}}$  использовалось в работе [19], посвященной исследованию амплитуд низкоэнергетического рассеяния в задаче трех частиц на плоскости  $\mathcal{P}$ .

Во всех процитированных работах [14]–[19] основное внимание уделялось случаю  $2\lambda = -1$ . В работе [20] для любого  $\lambda$  предложено использовать функцию эффективного радиуса

$$K'(q) \equiv q^{2\lambda+1} [\operatorname{ctg} \delta_\lambda(q) - h'(q)] = -\frac{1}{a'''_{}^{\prime\prime\prime}} + \frac{q^2}{2} r'''_{\text{eff}} + \dots, \quad h'(q) \equiv \frac{2}{\pi} \ln \frac{q}{2},$$

а константы  $a'''_{}^{\prime\prime\prime}$  и  $r'''_{\text{eff}}$  считать длиной рассеяния и эффективным радиусом. Функция  $h'(q)$  была введена ранее в работе [19].

Завершим настоящий раздел определениями, введенными в работе [21] и доказанными в этой же работе утверждениями.

Для каждого состояния рассеяния  $|q, \lambda\rangle$ ,  $q > 0$ , с выбранным значением  $\lambda$  функция эффективного радиуса  $K(q)$  определяется через функцию  $K(x; q)$  формулами

$$K(q) \equiv \lim_{x \rightarrow \infty} K(x; q), \quad K(x; q) \equiv q^{2\lambda+1} [\operatorname{ctg} \delta_\lambda(x; q) - h(q)]. \quad (9)$$

Функция  $K(x; q)$  является рядом по четным степеням волнового числа:

$$K(x; q) = \tau \sum_{n=0}^{\infty} q^{2n} K_n(x) = -\frac{1}{a(x)} + \frac{q^2}{2} r_{\text{eff}}(x) - q^4 r_{\text{eff}}^3(x) P(x) + \dots, \quad x \geq 0. \quad (10)$$

Здесь и всюду далее  $\tau$  – зависящий от значения  $\lambda$  множитель,

$$\tau \equiv \frac{2}{\pi} (2\lambda - 1 + 2\delta_{2\lambda, -1})!! (2\lambda + 1 + \delta_{2\lambda, -1})!! = \frac{(2^m m!)^2}{\pi m},$$

где  $m \equiv \lambda + 1/2$  – целое число;  $\delta_\lambda(x; q)$  – фазовая функция [5],  $h(q)$  – логарифмическая функция (7).

В начальной точке  $x = 0$  полуоси  $x \geq 0$  функции  $a(x)$  и  $\xi(x) \equiv a^2(x)r_{\text{eff}}(x)$  равны нулю, а в бесконечно удаленной точке  $x = \infty$  могут быть неограниченными. Если предельные при  $x \rightarrow \infty$  значения  $a$  и  $r_{\text{eff}}$  функций  $a(x)$  и  $r_{\text{eff}}(x)$  удовлетворяют ограничениям  $a \neq 0$  и  $|a| < \infty$ ,  $|r_{\text{eff}}| < \infty$ , то вследствие представлений (9) и (10) функция  $K(q)$  имеет низкоэнергетическую (при  $q \rightarrow +0$ ) асимптотику

$$K(q) \equiv q^{2\lambda+1} [\operatorname{ctg} \delta_\lambda(q) - h(q)] = -\frac{1}{a} + \frac{q^2}{2} r_{\text{eff}} - q^4 r_{\text{eff}}^3 P + O(q^6), \quad (11)$$

а коэффициенты  $a$ ,  $r_{\text{eff}}$  и  $P \equiv P(\infty)$  называются длиной рассеяния, эффективным радиусом и параметром формы. Именно такое определение, исключающее особые случаи  $a = 0$ ,  $|a| = \infty$  или  $|r_{\text{eff}}| = \infty$ , используется в разделах 3–5 настоящей работы. Анализу особых случаев  $a = 0$ ,  $a = \pm\infty$  посвящен раздел 6.

### 3. УРАВНЕНИЯ ДЛЯ ВЫЧИСЛЕНИЯ ДЛИНЫ РАССЕЯНИЯ И ЭФФЕКТИВНОГО РАДИУСА

В настоящем разделе ключевыми соотношениями являются разложение (10) и полученные в работе [21] специальные представления регулярного и нерегулярного решений  $j_\lambda(qx)$  и  $\tilde{n}_\lambda(qx)$  уравнения Шредингера (2) в случае потенциала  $V(x) \equiv 0$ . Эти решения выражаются через функции Бесселя  $J_m(qx)$  и  $Y_m(qx)$  целого порядка [29] и представляют собой ряды, которые содержат известные коэффициенты  $a_n$  и функции  $d_n(x)$ :

$$j_\lambda(qx) = \sqrt{\frac{\pi qx}{2}} J_m(qx) = \sqrt{\frac{\pi}{2}} \frac{(qx)^{\lambda+1}}{(2\lambda+1+2\delta_{2\lambda,-1})!!} \sum_{n=0}^{\infty} a_n(qx)^{2n}, \quad (12)$$

$$\tilde{n}_\lambda(qx) = \sqrt{\frac{\pi qx}{2}} Y_m(qx) = n_\lambda(qx) + h(q)j_\lambda(qx). \quad (13)$$

Здесь  $h(q)$  – логарифмическая функция (7) и

$$n_\lambda(qx) = -\sqrt{\frac{2}{\pi}} \frac{(2\lambda-1+2\delta_{2\lambda,-1})!!}{(qx)^\lambda} \sum_{n=0}^{\infty} d_n(x)(qx)^{2n}. \quad (14)$$

Последовательно выведем нелинейные уравнения для функций  $K(x; q)$ ,  $a(x)$  и линейное уравнение для функции  $r_{\text{eff}}(x)$ . Применим нелинейную версию метода фазовых функций [5], в которой  $T(x; q) = \operatorname{tg} \delta_\lambda(x; q)$  определяется как решение уравнения

$$\partial_x T(x; q) = -\frac{\pi}{2} x V(x) [J_m(qx) - T(x; q) Y_m(qx)]^2, \quad x > 0, \quad (15)$$

с граничным условием  $T(x; q) = 0$  при  $x = 0$ . Используя соотношения (9) и (12), (13), выразим в этом уравнении функции  $J_m$  и  $Y_m$  через известные функции  $j_\lambda$  и  $n_\lambda$ , а искомую функцию  $T(x; q)$  – через функцию  $K(x; q)$ . В итоге получим уравнение

$$\partial_x K(x; q) = V(x) [q^{-\lambda-1} j_\lambda(\rho) K(x; q) - q^\lambda n_\lambda(\rho)]^2, \quad x > 0. \quad (16)$$

В этом нелинейном уравнении представим функции  $j_\lambda$  и  $n_\lambda$  как ряды (12) и (14), а искомое решение  $K(x; q)$  заменим его разложением (10). В получившемся уравнении приравняем нулю сумму всех слагаемых, не зависящих от  $q$ , сумму всех слагаемых, пропорциональных  $q^2$ , и сумму всех слагаемых, пропорциональных  $q^4$ . Тогда

соответственно получим нелинейное однородное уравнение для функции  $a(x)$ , линейное неоднородное уравнение для функции  $r_{\text{eff}}(x)$  и уравнение для функции  $P(x)$ . Приведем уравнения для функций  $a(x)$  и  $r_{\text{eff}}(x)$ . Для краткости записи ниже мы используем обозначение  $y(x) \equiv \ln x$  и не указываем аргумент  $x$  функций  $y(x)$ ,  $V(x)$ ,  $a(x)$  и  $r_{\text{eff}}(x)$ .

В случае  $2\lambda = -1$  функция  $a(x)$  подчиняется уравнению

$$\tau \partial_x a = xV[1 + \tau ay]^2, \quad (17)$$

а в случае  $2\lambda \geq 1$  – уравнению

$$\tau \partial_x a = \frac{x^{2\lambda}}{2\lambda + 1} V[x - x^{-2\lambda} \tau a]^2. \quad (18)$$

В случае  $2\lambda = -1$  функция  $r_{\text{eff}}(x)$  удовлетворяет уравнению

$$\tau \partial_x r_{\text{eff}} = -a^{-2} xV[1 + \tau ay][2ar_{\text{eff}} + x^2(1 + \tau ay - \tau a)], \quad (19)$$

в случае  $2\lambda = 1$  – уравнению

$$\tau \partial_x r_{\text{eff}} = a^{-2} xV[\tau a - x^2] \left( a(r_{\text{eff}} - \tau y) + \frac{x^2}{4} \right) \quad (20)$$

и, наконец, в оставшемся случае  $2\lambda \geq 3$  – уравнению

$$\tau \partial_x r_{\text{eff}} = \frac{2}{2\lambda + 1} a^{-2} xV(\tau a - x^{2\lambda+1}) \left[ a \left( r_{\text{eff}} + \tau \frac{x^{-2\lambda+1}}{2\lambda - 1} \right) + \frac{x^2}{2\lambda + 3} \right]. \quad (21)$$

Обсудим уравнения (17) и (18). В этих уравнениях знаки производной  $\partial_x a$  и потенциала  $V$  совпадают, эта производная равна нулю в тех же точках, что и потенциал. Следовательно, непрерывное решение  $a(x)$  монотонно возрастает или убывает на отрезке  $[x_1, x_2]$ , если на этом отрезке потенциал является соответственно отталкивающим ( $V > 0$ ) или притягивающим ( $V < 0$ ). Решение имеет локальный экстремум в некоторой точке  $x = \tilde{x} < \infty$ , если в этой точке потенциал меняет знак. Уравнения (17) могут иметь решения, терпящие разрыв второго рода. В этом случае в малой окрестности точки разрыва следует перейти к уравнениям для функции  $\tilde{a}(x) = 1/a(x)$ .

Теперь обсудим уравнения (19)–(21). Их правые части содержат множитель  $a^{-2}(x)$ , и поэтому решение  $r_{\text{eff}}(x)$  может иметь полюс первого или второго порядка в некоторой точке  $x = \tilde{x}$ , если в этой точке функция  $a(x)$  меняет знак. При наличии полюса следует положить  $r_{\text{eff}}(x) = \tau \xi(x)/a^2(x)$  и вместо исходных уравнений использовать порожденные ими уравнения для ограниченной в точке  $x = \tilde{x}$  функции  $\xi(x)$ : в случае  $2\lambda = -1$  мы имеем уравнение

$$\partial_x \xi = \frac{x}{2} V[1 + \tau ay][4y\xi - x^2(1 + \tau ay - \tau a)], \quad (22)$$

при  $2\lambda = 1$  – уравнение

$$\partial_x \xi = \frac{1}{8x} V[\tau a - x^2][8\xi + x^2(x^2 - 4\tau ay)], \quad (23)$$

а в случае  $2\lambda \geqslant 3$  – уравнение

$$\partial_x \xi = \frac{1}{2\lambda + 1} V[\tau a - x^{2\lambda+1}] x^{-2\lambda} \left( 2\xi + \frac{\tau a x^2}{2\lambda - 1} + \frac{x^{2\lambda+3}}{2\lambda + 3} \right). \quad (24)$$

Заметим, что равенства  $a(0) = 0$  и  $\xi(0) = 0$ , упомянутые в предыдущем разделе, являются граничными условиями для уравнений (17), (18) и (22)–(24) в начальной точке  $x = 0$ , каждое из трех уравнений (22)–(24) представимо в виде

$$\partial_x \xi(x) = v_2(x)\xi(x) + v_1(x),$$

и поэтому при условии  $\xi(0) = 0$  оно имеет единственное решение

$$\xi(x) = \int_0^x dx_1 v_1(x_1) \exp \left\{ \int_{x_1}^x dx_2 v_2(x_2) \right\}, \quad (25)$$

которое является интегральным представлением функции  $\xi(x)$  через функцию  $a(x)$ .

Наша следующая задача – свести все полученные уравнения (17)–(21) к системам линейных дифференциальных уравнений первого порядка. Используем для этого известный в теории дифференциальных уравнений [27] метод вариации произвольных коэффициентов. Напомним, что в этом методе искомое решение исходного уравнения сначала представляется через две неизвестные функции, производные которых по определению подчиняются некоторому тождеству, а затем это тождество используется при выводе системы двух уравнений.

Начнем с линеаризации уравнения (17). Его решение будем искать в виде

$$a(x) = -\frac{s_0(x)}{\tau c_0(x)}. \quad (26)$$

Произвольные функции  $c_0(x)$  и  $s_0(x)$  подчиним тождеству

$$\partial_x c_0(x) \equiv \ln x \partial_x s_0(x), \quad x > 0. \quad (27)$$

Подстановкой формулы (26) сведем исходное уравнение (17) к соотношению, содержащему обе производные  $\partial_x c_0$  и  $\partial_x s_0$ . Используя тождество (27), исключим из этого соотношения производную  $\partial_x s_0$  или производную  $\partial_x c_0$ . Получим два уравнения для искомых функций  $c_0(x)$  и  $s_0(x)$ . Запишем полученную таким образом однородную систему двух уравнений в следующем виде:

$$\begin{aligned} \partial_x c_0(x) &= -V(x)[c_0(x) - s_0(x) \ln x]x \ln x, & 2\lambda &= -1. \\ \partial_x s_0(x) &= -V(x)[c_0(x) - s_0(x) \ln x]x, \end{aligned} \quad (28)$$

Теперь изложенным выше способом линеаризуем уравнение (18). Для этого используем подстановку (26), а искомые функции  $c_0$  и  $s_0(x)$  подчиним тождеству

$$\partial_x c_0(x) \equiv -x^{-2\lambda-1} \partial_x s_0(x), \quad x > 0, \quad 2\lambda \geqslant 1. \quad (29)$$

В результате получим однородную систему линейных уравнений

$$\begin{aligned} \partial_x c_0(x) &= \frac{V(x)}{2\lambda + 1} [x c_0(x) + x^{-2\lambda} s_0(x)], & 2\lambda &\geqslant 1. \\ \partial_x s_0(x) &= -\frac{V(x)}{2\lambda + 1} [x c_0(x) + x^{-2\lambda} s_0(x)] x^{2\lambda+1}, \end{aligned} \quad (30)$$

Для редукции уравнений (19)–(21) к системам неоднородных уравнений применим подстановку

$$r_{\text{eff}}(x) = \frac{2\tau}{s_0(x)} \left( c_1(x) - s_1(x) \frac{c_0(x)}{s_0(x)} \right) \quad (31)$$

и используем соответствующие выбранному значению  $\lambda$ ,  $2\lambda \geq -1$ , уравнения (28) или (30) и различные тождества. Далее мы приведем эти тождества и итоговые системы уравнений, полагая для краткости записи  $y(x) \equiv \ln x$  и не указывая аргумент  $x$  функций  $y(x)$ ,  $V(x)$ ,  $c_{0,1}(x)$  и  $s_{0,1}(x)$ .

Итак, уравнение (19) благодаря тождеству

$$4(\partial_x c_1 - y \partial_x s_1) \equiv x^2 \partial_x s_0, \quad x > 0, \quad (32)$$

сводится к системе уравнений

$$\begin{aligned} \partial_x c_1 &= \frac{V}{4} \left\{ 4y(c_1 - ys_1) + x^2 [(2y - 1)c_0 + 2(1 - y)ys_0] \right\} x, & 2\lambda = -1. \\ \partial_x s_1 &= \frac{V}{4} \left\{ 4(ys_1 - c_1) + x^2 [2c_0 + (1 - 2y)s_0] \right\} x, \end{aligned} \quad (33)$$

Тождество

$$8(\partial_x c_1 + x^{-2} \partial_x s_1) \equiv x^2 \partial_x c_0 + 4y \partial_x s_0, \quad x > 0, \quad (34)$$

позволяет вывести из уравнения (20) систему уравнений

$$\begin{aligned} \partial_x c_1 &= \frac{V}{16} \left[ 8 \left( xc_1 + \frac{1}{x} s_1 \right) - x^3 (4y + 1)c_0 - 8xys_0 \right], & 2\lambda = 1. \\ \partial_x s_1 &= -\frac{V}{16} \left[ 8 \left( xc_1 + \frac{1}{x} s_1 \right) - 2x^3 c_0 - x(4y + 1)s_0 \right] x^2, \end{aligned} \quad (35)$$

При использовании тождества

$$2(\partial_x c_1 + x^{-2\lambda-1} \partial_x s_1) \equiv \frac{x^2}{2\lambda+3} \partial_x c_0 - \frac{x^{-2\lambda-1}}{2\lambda-1} \partial_x s_0, \quad x > 0, \quad 2\lambda \geq 3, \quad (36)$$

уравнение (21) порождает следующую систему в случае  $2\lambda \geq 3$ :

$$\begin{aligned} \partial_x c_1 &= \frac{V}{2\lambda+1} \left[ xc_1 + x^{-2\lambda} s_1 + \frac{x^2}{2\lambda-1} \left( \frac{2}{2\lambda+3} xc_0 + x^{-2\lambda} s_0 \right) \right], \\ \partial_x s_1 &= -\frac{V}{2\lambda+1} \left[ xc_1 + x^{-2\lambda} s_1 - \frac{x^2}{2\lambda+3} \left( xc_0 - \frac{2}{2\lambda-1} x^{-2\lambda} s_0 \right) \right] x^{2\lambda+1}. \end{aligned} \quad (37)$$

Завершим настоящий раздел важными замечаниями.

Функции  $K(x; q)$ ,  $a(x)$  и  $r_{\text{eff}}(x)$  имеют прозрачный физический смысл: их значения в любой точке  $x = b \geq 0$  суть соответственно значения функции эффективного радиуса, длины рассеяния и эффективного радиуса, если потенциал  $V(x)$  заменить потенциалом  $V(x)\theta(x - b)$ , т. е. “обрезать” в этой точке. Правые части уравнений (19)–(21) для функции  $r_{\text{eff}}(x)$  содержат функцию  $a(x)$ , а связь  $r_{\text{eff}}(x) = \tau\xi(x)/a^2(x)$  и соотношение (25) порождают интегральное представление функции  $r_{\text{eff}}(x)$  через функцию  $a(x)$ . Следовательно, эффективный радиус  $r_{\text{eff}}$  зависит и от

потенциала  $V(x)$ , и от длины рассеяния  $a$ . Анализ функции  $P(x)$  выходит за рамки настоящей работы, поэтому уравнение, определяющее эту функцию, лишь упоминалось выше.

В отличие от функций  $a(x)$  и  $r_{\text{eff}}(x)$  компоненты  $c_n(x)$  и  $s_n(x)$ ,  $n = 1, 2$ , не имеют какого-либо физического смысла. Системы уравнений (28), (30) и (33), (35), (37) принадлежат бесконечной по индексу  $n = 0, 1, \dots$  рекуррентной цепочке уравнений, которая получена в работе [21] способом, отличным от изложенного выше. В этой же работе доказаны следующие утверждения. Условие (3) порождает граничные условия  $c_n(x) = \delta_{n,0}$ ,  $s_n(x) = 0$ ,  $n = 0, 1, \dots$ , в начальной точке  $x = 0$ . При таких условиях и ограничениях (1) на потенциал  $V(x)$  обсуждаемая цепочка уравнений имеет единственное решение, все функции  $c_n(x)$  и  $s_n(x)$ ,  $n = 0, 1, \dots$ , непрерывны на полуоси  $x > 0$  и ограничены в бесконечно удаленной точке  $x = \infty$ . Вследствие этих фактов и связей (26) и (31) при тех же ограничениях (1) уравнения (17)–(21) однозначно разрешимы.

Обсудим преимущества и недостатки исходных нелинейных уравнений (17)–(21) и выведенных из них систем линейных уравнений (28), (30), (33), (35) и (37).

Первое и неоспоримое преимущество нелинейных уравнений (17)–(21) состоит в том, что их решения  $a(x)$  и  $r_{\text{eff}}(x)$  обладают прозрачным физическим смыслом. Второе преимущество этих уравнений заключается в том, что, используя их, можно вычислить длину рассеяния  $a$  и эффективный радиус  $r_{\text{eff}}$  наиболее экономичным способом: для этого достаточно численно проинтегрировать одно уравнение (17) или (18), а затем вычислить один интеграл (25). Как пояснялось выше, решение  $a(x)$  нелинейных уравнений (17) или (18) может быть неограниченным в некоторой точке  $x = t > 0$ , но этот единственный недостаток нетрудно преодолеть, перейдя при вычислении функции  $a(x)$  в малой окрестности точки  $x = t$  к уравнению для функции  $1/a(x)$ .

Единственное преимущество систем линейных уравнений (28), (30), (33), (35) и (37) по сравнению с исходными нелинейными уравнениями (17)–(21) таково: все компоненты  $c_n(x)$  и  $s_n(x)$  решений  $\{c_n(x), s_n(x)\}$ ,  $n = 0, 1$ , этих систем являются всюду ограниченными функциями. Однако эти функции не имеют никакого физического смысла, а вычисление длины рассеяния  $a$  и эффективного радиуса  $r_{\text{eff}}$  требует численного интегрирования четырех зацепляющихся уравнений. Например, в случае  $2\lambda = -1$  придется одновременно интегрировать систему (28) и систему (33). Ясно, что такой способ вычисления длины рассеяния и эффективного радиуса менее экономичен, чем упомянутый выше алгоритм, основанный на нелинейных уравнениях (17) или (18) и интегральном представлении (25) эффективного радиуса  $r_{\text{eff}}$  через функцию  $a(x)$ .

#### 4. ДЛИНА РАССЕЯНИЯ И ЭФФЕКТИВНЫЙ РАДИУС В СЛУЧАЕ ПОТЕНЦИАЛА ПРЯМОУГОЛЬНОЙ ФОРМЫ

Приведем полезный с методической точки зрения пример, позволяющий проиллюстрировать все возможные особенности функций  $a(x)$  и  $r_{\text{eff}}(x)$ . Для этого исследуем случай финитного потенциала прямоугольной формы. Положим  $V(x) = V_0\theta(b - x)$ , где  $V_0 \neq 0$  и  $b > 0$  – некоторые константы. Наша задача – найти и исследовать точные решения уравнений (17)–(21) на всей полуоси  $x > 0$ . Так как

в области  $x > b$  потенциал  $V(x)$  тождественно равен нулю, в этой области искомые решения  $a(x)$  и  $r_{\text{eff}}(x)$  тождественно равны их значениям  $a(b)$  и  $r_{\text{eff}}(b)$  в точке  $x = b$ . Следовательно, эти значения являются длиной рассеяния  $a$  и эффективным радиусом  $r_{\text{eff}}$ , и для вычисления этих констант достаточно решить уравнения (17)–(21) на конечном отрезке  $0 \leq x \leq b$ . Приступим к решению.

Сначала рассмотрим случай  $V_0 < 0$ , когда потенциал  $V(x)$  является прямоугольной ямой, глубина и ширина которой равны соответственно  $-V_0$  и  $b$ . Положив  $\alpha \equiv \sqrt{-V_0}$ ,  $z \equiv \alpha x$  и выполнив соответствующую подстановку

$$a(x) = -\frac{1}{\tau} x^{2m} \frac{z \partial_z A(z) + mA(z)}{z \partial_z A(z) [\delta_{m,0} \ln x + \theta(m-1)] - (\delta_{m,0} + m)A(z)},$$

сведем уравнения (17) и (18) к уравнению Бесселя [29] для функции  $A(z)$ . Решив такие уравнения, выведем представление функции  $a(x)$  через функции Бесселя  $J_m(z)$  и найдем интеграл (25), а затем и соответствующую ему функцию  $r_{\text{eff}}(x)$ . В итоге получим следующие формулы: для  $x \leq b$  в случае  $2\lambda = -1$

$$a(x) = -\frac{\pi}{2} \frac{z J_1(z)}{J_0(z) + z J_1(z) \ln x}, \quad r_{\text{eff}}(x) = \frac{1}{\pi \alpha^2} \left( z^2 - 2 + 2z \frac{J_0(z)}{J_1(z)} \right); \quad (38)$$

в случае  $2\lambda = 1$

$$a(x) = -\frac{\pi}{4} x^2 \frac{J_2(z)}{J_0(z)}, \quad r_{\text{eff}}(x) = \frac{1}{\pi} \left( 4 \ln x + [8J_2(z) - z^2 J_0(z)] \frac{J_0(z)}{[z J_2(z)]^2} \right); \quad (39)$$

если  $2\lambda \geq 3$ , то

$$\begin{aligned} a(x) &= -\pi m \left( \frac{x^m}{2^m m!} \right)^2 B_m^{-1}(z), \\ r_{\text{eff}}(x) &= -\frac{(2^m m!)^2}{2\pi m} \left( \frac{\alpha^{m-1}}{z^m} \right)^2 \left[ z^2 \left( \frac{1}{m-1} + \frac{B_m^2(z)}{m+1} \right) - 4m B_m(z) \right], \end{aligned} \quad (40)$$

где

$$B_m(z) \equiv \frac{J_{m-1}(z)}{J_{m+1}(z)}.$$

Теперь несложно рассмотреть случай  $V_0 > 0$ , когда потенциал  $V(x) = V_0 \theta(b-x)$  является прямоугольным барьером, высота и ширина которого равны соответственно  $V_0$  и  $b$ . Выполнив в формулах (38)–(40) замены

$$\alpha \mapsto i\alpha = i\sqrt{V_0}, \quad z \mapsto iz = i\alpha x, \quad J_m(iz) \mapsto i^m I_m(z), \quad (41)$$

получим следующие представления функций  $a(x)$  и  $r_{\text{eff}}(x)$  через модифицированные функции Бесселя  $I_m(z)$ : для  $x \leq b$  в случае  $2\lambda = -1$

$$a(x) = \frac{\pi}{2} \frac{z I_1(z)}{I_0(z) - z I_1(z) \ln x}, \quad r_{\text{eff}}(x) = \frac{1}{\pi \alpha^2} \left( z^2 + 2 - 2z \frac{I_0(z)}{I_1(z)} \right); \quad (42)$$

в случае  $2\lambda = 1$

$$a(x) = \frac{\pi}{4} x^2 \frac{I_2(z)}{I_0(z)}, \quad r_{\text{eff}}(x) = \frac{1}{\pi} \left( 4 \ln x + [8I_2(z) - z^2 I_0(z)] \frac{I_0(z)}{[z I_2(z)]^2} \right); \quad (43)$$

если  $2\lambda \geqslant 3$ , то

$$\begin{aligned} a(x) &= \pi m \left( \frac{x^m}{2^m m!} \right)^2 B_m^{-1}(z), \\ r_{\text{eff}}(x) &= -\frac{(2^m m!)^2}{2\pi m} \left( \frac{\alpha^{m-1}}{z^m} \right)^2 \left\{ z^2 \left( \frac{1}{m-1} + \frac{B_m^2(z)}{m+1} \right) - 4m B_m(z) \right\}, \end{aligned} \quad (44)$$

где теперь

$$B_m(z) \equiv \frac{I_{m-1}(z)}{I_{m+1}(z)}.$$

Обсудим особенности поведения функций (38)–(40) на отрезке  $0 \leqslant x \leqslant b$ .

Как известно [29], в области  $z > 0$  все нули  $\gamma_{m+1,i}$ ,  $i = 1, 2, \dots$ , функции  $J_{m+1}(z)$  являются простыми. Поэтому при любом значении  $\lambda$  на полуинтервале  $0 < x \leqslant b$  функция  $a(x)$  или не имеет нулей, если  $ab < \gamma_{m+1,1}$ ,  $m = \lambda + 1/2$ , или имеет конечное число  $n$  простых нулей  $x_{m+1,j}^+ = \gamma_{m+1,j}/\alpha$ ,  $j = 1, 2, \dots, n$ . Число  $n$  равно максимальному значению номера  $i$ , при котором выполняется условие  $\gamma_{m+1,i} \leqslant ab$ . При любом  $\lambda$  нули  $x_{m+1,j}^+$  функции  $a(x)$  являются полюсами соответствующей функции  $r_{\text{eff}}(x)$ . В случае  $2\lambda = -1$  эти полюсы имеют первый порядок, а при условии  $2\lambda \geqslant 1$  – второй.

Случай  $2\lambda = -1$  является особым. В этом случае согласно формулам (38) все полюсы  $x_{1,j}^-$  функции  $a(x)$  связаны с нулями  $z_j$  функции  $J_0(z) + z J_1(z) \ln x$  соотношениями  $x_{1,j}^- = z_j/\alpha$ . Все нули  $z_j$  простые. Поэтому на отрезке  $0 \leqslant x \leqslant b$  функция  $a(x)$  является гладкой, если  $z_1 > ab$ , а в противном случае имеет конечное число  $n$  полюсов  $x_{1,j}^- = z_j/\alpha$ ,  $j = 1, 2, \dots, n$ , первого порядка. Функция  $r_{\text{eff}}(x)$  в точке  $x = 0$  ограничена и отлична от нуля.

При любом  $\lambda \geqslant 1/2$  в силу равенств (39), (40) функция  $a(x)$  непрерывна на отрезке  $0 \leqslant x \leqslant b$ , если  $\gamma_{m-1,1}(z) > ab$ , а при условии  $\gamma_{m-1,n} \leqslant b$  имеет конечное число  $n$  полюсов первого порядка  $x_{m-1,j} = \gamma_{m-1,j}$ ,  $j = 1, 2, \dots, n$ . В случае  $2\lambda \geqslant 1$  точка  $x = 0$  для функции  $r_{\text{eff}}(x)$  является полюсом второго порядка.

Так как нули  $\gamma_{m-1,j}$  и  $\gamma_{m+1,j}$  функции  $J_{m-1}(z)$  и  $J_{m+1}(z)$  перемежаются [29], при любом  $\lambda$  этим же свойством обладают полюсы  $x_{m,j}^-$  и нули  $x_{m,j}^+$  функции  $a(x)$ :

$$x_{m,j}^- < x_{m,j}^+ < x_{m,j+1}^- < x_{m,j+1}^+, \quad j = 1, 2, \dots, n-1.$$

По той же причине при любом  $\lambda$  перемежаются нули и полюсы функции  $r_{\text{eff}}(x)$ .

Теперь перечислим основные особенности функций (42)–(44).

Известно [29], что на полуоси  $z > 0$  все функции  $I_m(z)$  положительные и монотонно возрастающие. Поэтому при любом  $\lambda > 1/2$  согласно формулам (43), (44) такими же свойствами обладает функция  $a(x)$ , а функция  $r_{\text{eff}}(x)$  монотонно возрастает, но может иметь только один, причем простой, нуль, принадлежащий отрезку  $0 \leqslant x \leqslant b$ , и только один полюс  $x = 0$ , причем второго порядка.

Случай  $2\lambda = -1$ , когда функции  $a(x)$  и  $r_{\text{eff}}(x)$  определены формулами (42), является исключительным. В этом случае на полуоси  $z > 0$  функция  $I_0(z) - z I_1(z) \ln x$  имеет один простой нуль  $z_1$ . Поэтому на отрезке  $0 \leqslant x \leqslant b$  функция  $a(x)$  является положительной и монотонно возрастающей, если  $z_1 < ab$ , а в противном случае эта

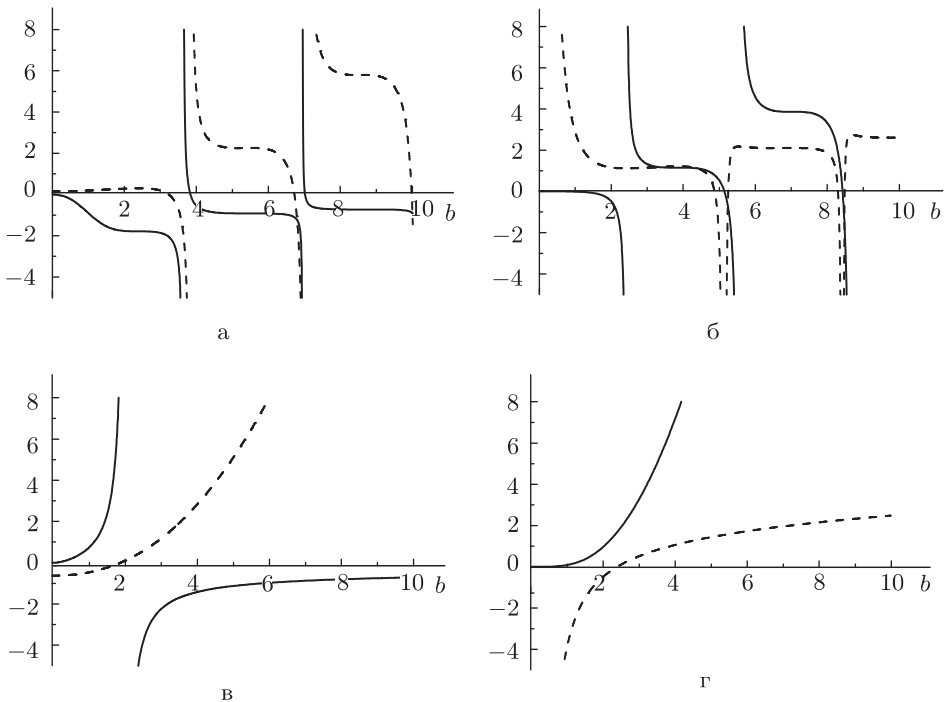


Рис. 1. Зависимость масштабированных длины рассеяния  $\tau_{1a}(b)$  (сплошная кривая) и эффективного радиуса  $\tau_2 r_{\text{eff}}(b)$  (штриховая кривая) от ширины  $b$  потенциала  $V(x) = V_0\theta(b-x)$  прямоугольной формы в четырех случаях: при  $V_0 = -1$ ,  $2\lambda = -1$ ,  $\tau_1 = 1$ ,  $\tau_2 = 1/4$  (а), при  $V_0 = -1$ ,  $2\lambda = 1$ ,  $\tau_1 = 1/10$ ,  $\tau_2 = 1$  (б), при  $V_0 = 1$ ,  $2\lambda = -1$ ,  $\tau_1 = 1$ ,  $\tau_2 = 1$  (в) и при  $V_0 = 1$ ,  $2\lambda = 1$ ,  $\tau_1 = 1$ ,  $\tau_2 = 1$  (г).

функция имеет полюс первого порядка в точке  $x_{1,1}^- = z_1/\alpha$ . Функция  $r_{\text{eff}}(x)$  ограничена в точке  $x = 0$  и монотонно возрастает в области  $0 < x \leq b$ , в этой области она может иметь только один нуль, причем первого порядка.

Все перечисленные выше особенности функций  $a(x)$  и  $r_{\text{eff}}(x)$ , а также зависимость длины рассеяния  $a(b)$  и эффективного радиуса  $r_{\text{eff}}(b)$  от ширины  $b$  потенциала  $V = V_0\theta(b-x)$  прямоугольной формы в четыре случая  $V_0 = \pm 1$ ,  $2\lambda = \pm 1$  иллюстрирует рис. 1. Видно, что в этих случаях длина рассеяния и эффективный радиус могут принимать любые вещественные значения, кроме того, имеет место описанная в предыдущем разделе корреляция между бесконечно малыми и бесконечно большими по абсолютной величине значениями этих параметров.

Как показано в работе [21], если известны функции  $c_n(x)$  и  $s_n(x)$ , удовлетворяющие системам (28), (30), (33), (35), (37) и граничным условиям  $c_n(0) = \delta_{n,0}$  и  $s_n(0) = 0$ ,  $n = 0, 1$ , то нетрудно построить явную низкоэнергетическую асимптотику решения  $u_\lambda(x; q)$  краевой задачи Шредингера (2)–(4). Поэтому имеет смысл найти точные решения этих систем в случае потенциала прямоугольной формы.

Приступим к решению такой задачи. Сначала положим  $V(x) = V_0\theta(b-x)$ ,  $V_0 < 0$ ,  $\alpha = \sqrt{-V_0}$ . Исследуем систему двух уравнений (28). В отличие от первого уравне-

ния ее второе уравнение не содержит квадрата логарифмической функции и поэтому является более простым. Продифференцируем это уравнение по аргументу  $x$ . Используя тождество (27), исключим из полученного уравнения производную  $\partial_x c_0(x)$ . В результате выведем однородное уравнение

$$(\partial_x^2 - x^{-1} \partial_x + \alpha^2) s_0(x) = 0, \quad x > 0,$$

с граничным условием  $s_0(0) = 0$ . Подстановкой  $z = \alpha x$ ,  $s_0(x) = z Z(z)$  сведем это уравнение к известному уравнению [29] для функции Бесселя  $J_1(z)$  первого порядка. Теперь подставим найденную компоненту  $s_0(x) = z J_1(z)$  в тождество (27). Полученное таким образом представление производной  $\partial_x c_0(x)$  запишем на отрезке  $[0, x]$  в интегральной форме. Для этого используем граничное условие  $c_0(0) = 1$ . Взяв интеграл, получим, что  $c_0(x) = J_0(z) + z J_1(z) \ln x$ .

Аналогичным способом последовательно исследуем оставшиеся системы уравнений (30), (33), (35) и (37). Решение каждой из них начнем с дифференцирования ее второго уравнения, не содержащего в отличие от первого уравнения степенного множителя  $x^{2\lambda+1}$ . Для исключения производных  $\partial_x s_0(x)$  или  $\partial_x s_1(x)$  из искомого уравнения для компонент  $c_0(x)$  или  $c_1(x)$  используем соответствующие выбранному значению  $\lambda$  тождества (29), (32), (34) или (36). После того как получено явное решение уравнения для компоненты  $c_0(x)$  или  $c_1(x)$ , найдем производную этой компоненты по аргументу  $x$ . Подставив эту производную в соответствующее тождество, получим представление производной  $\partial_x s_0(x)$  или  $\partial_x s_1(x)$ . Используя граничное условие  $s_{0,1}(0) = 0$ , запишем это представление в виде интеграла. Вычислив его, найдем компоненту  $s_0(x)$  или  $s_1(x)$ .

Приведем найденные описанным выше способом представления компонент  $c_{0,1}(x)$  и  $s_{0,1}(x)$  через функции Бесселя  $J_m(z)$  аргумента  $z = \alpha x$ , где  $\alpha \equiv \sqrt{-V_0}$ ,  $V_0 < 0$ .

Итак, для потенциала  $V(x)$  в виде прямоугольной ямы  $V(x) = V_0 \theta(b - x)$ ,  $V_0 < 0$ , при  $x \leq b$  имеем следующие решения.

В случае  $2\lambda = -1$

$$\begin{aligned} c_0(x) &= J_0(z) + z J_1(z) \ln x, & s_0(x) &= z J_1(z), \\ c_1(x) &= \frac{x^2}{4} [z J_1(z)(1 - \ln x) - J_2(z)], & s_1(x) &= -\alpha \frac{x^3}{4} J_1(z). \end{aligned} \tag{45}$$

В случае  $2\lambda = 1$

$$\begin{aligned} c_0(x) &= J_0(z), & s_0(x) &= x^2 J_2(z), \\ c_1(x) &= \frac{x^2}{2} J_2(z) \ln x, & s_1(x) &= \frac{x^2}{8\alpha^2} [z^2 J_0(z) - 8J_2(z)]. \end{aligned} \tag{46}$$

В случае  $2\lambda \geq 3$

$$\begin{aligned} c_0(x) &= wz^{1-m} J_{m-1}(z), & s_0(x) &= w\alpha^{-2m} z^{m+1} J_{m+1}(z), \\ c_1(x) &= -\frac{w}{4(m-1)\alpha^2} z^{3-m} J_{m+1}(z), & s_1(x) &= \frac{w}{\alpha^{2m+2}} \times \\ & \quad \times \left( \frac{z^2 J_{m-1}(z)}{4(m+1)} - m J_{m+1}(z) \right), \end{aligned} \tag{47}$$

где  $w \equiv 2^{m-1}(m-1)!$ .

На полуоси  $x > b$  каждая из компонент  $c_{0,1}(x)$  и  $s_{0,1}(x)$  тождественно равна своему значению в точке  $x = b$ .

Теперь нетрудно найти компоненты  $c_{0,1}(x)$ ,  $s_{0,1}(x)$  для потенциала  $V(x)$  в виде прямоугольного барьера:  $V(x) = V_0\theta(b-x)$ ,  $V_0 > 0$ . Выполнив замены (41) в формулах (45)–(47), получим следующие представления этих компонент при  $x \leq b$  через модифицированные функции Бесселя  $I_m(z)$ , где  $z = \alpha x$ ,  $\alpha = \sqrt{V_0}$ .

В случае  $2\lambda = -1$

$$\begin{aligned} c_0(x) &= I_0(z) - zI_1(z)\ln x, & s_0(x) &= -zI_1(z), \\ c_1(x) &= -\frac{x^2}{4}[zI_1(z)(1 - \ln x) - I_2(z)], & s_1(x) &= \alpha\frac{x^3}{4}I_1(z). \end{aligned} \quad (48)$$

В случае  $2\lambda = 1$

$$\begin{aligned} c_0(x) &= I_0(z), & s_0(x) &= -x^2I_2(z), \\ c_1(x) &= -\frac{x^2}{2}I_2(z)\ln x, & s_1(x) &= \frac{x^2}{8\alpha^2}[z^2I_0(z) - 8I_2(z)]. \end{aligned} \quad (49)$$

Наконец, в случае  $2\lambda \geq 3$

$$\begin{aligned} c_0(x) &= wz^{1-m}I_{m-1}(z), & s_0(x) &= -w\alpha^{-2m}z^{m+1}I_{m+1}(z), \\ c_1(x) &= \frac{w}{4(m-1)\alpha^2}z^{3-m}I_{m+1}(z), & s_1(x) &= \frac{w}{\alpha^{2m+2}} \times \\ &&&\times \left( \frac{z^2I_{m-1}(z)}{4(m+1)} - mI_{m+1}(z) \right), \end{aligned} \quad (50)$$

где, как и выше,  $w \equiv 2^{m-1}(m-1)!$ .

В области  $x > b$  все компоненты  $c_{0,1}(x)$  и  $s_{0,1}(x)$  тождественно равны своим значениям в точке  $x = b$ .

## 5. ДЛИНА И ЭФФЕКТИВНЫЙ РАДИУС ДВУМЕРНОГО РАССЕЯНИЯ НЕЙТРОНА НА ПРОТОНЕ

Параметры низкоэнергетического рассеяния  $a$  и  $r_{\text{eff}}$  нейтрона  $n$  на протоне  $p$  в двумерной плоскости, по-видимому, ранее не вычислялись. Восполним этот недостаток современной ядерной физики и попутно сравним все известные методы вычисления констант  $a$  и  $r_{\text{eff}}$ .

Предположим, что полное взаимодействие между нейтроном и протоном в их синглетном по полному спину состоянии зависит только от расстояния  $r$  между ними и исчерпывается  ${}^1S_0$ -потенциалом Рида  $V^s(r)$  с мягким кором [6]:

$$V^s(r) = \frac{g(z)}{z} \{ V_1 + g^3(z)[V_4 + V_7g^3(z)] \}, \quad g(z) \equiv e^{-z}, \quad z \equiv \frac{r}{r_\pi}, \quad (51)$$

где

$$V_1 = -10.463 \text{ МэВ}, \quad V_4 = -1650.6 \text{ МэВ}, \quad V_7 = 6484.2 \text{ МэВ}, \quad r_\pi \equiv \frac{10}{7} \Phi_m.$$

Наглядное представление о поведении потенциала  $V^s(r)$  дает рис. 2. С ростом аргумента  $r$  потенциал  $V^s(r)$  монотонно убывает на интервале  $(0, r_2^s)$ , обращается в нуль

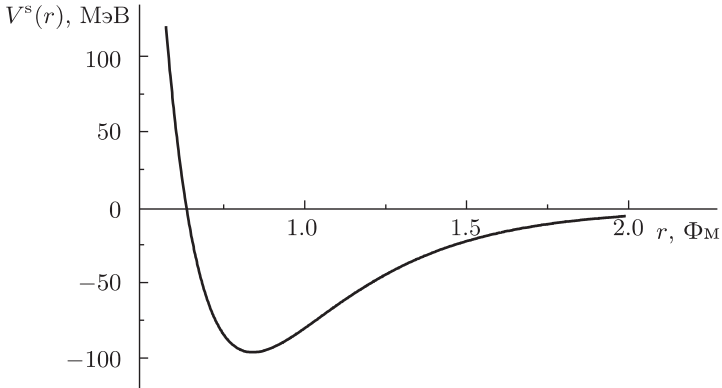


Рис. 2. Потенциал  $V^s(r)$ , заданный формулами (51).

в точке  $r \leq r_1^s \approx 0.6402$  Фм, в точке  $r = r_2^s \approx 0.8449$  Фм принимает минимальное значение  $V^s(r_2^s) = V_{\min}^s \approx -97.2308$  МэВ, а при  $r > r_1^s$  монотонно возрастает, стремясь к нулю при  $r/r_\pi \rightarrow \infty$ . Обсуждаемый потенциал имеет асимптотики

$$V^s(r) \sim \begin{cases} \frac{V_0^s}{r}, & \frac{r}{r_\pi} \rightarrow 0, \\ \frac{V_\infty^s}{r} e^{-r/r_\pi}, & \frac{r}{r_\pi} \rightarrow \infty, \end{cases} \quad \begin{aligned} V_0^s &\approx 6890 \text{ МэВ} \cdot \text{Фм}, \\ V_\infty^s &\approx -14.9 \text{ МэВ} \cdot \text{Фм}. \end{aligned}$$

В области  $r \leq r_1^s \approx 0.6402$  Фм данный потенциал является отталкивающим ( $V^s > 0$ ), а в области  $r > r_1^s$  — притягивающим ( $V^s < 0$ ).

Константу  $\hbar^2/2\mu$ , где  $\mu$  — приведенная масса  $pr$ -системы, положим равной ее известному значению [6] 41.47 МэВ · Фм<sup>2</sup>. Безразмерный аргумент  $x$  определим соотношением  $x = r/d$ . В качестве  $d$  выберем характерную для ядерных систем длину  $d = 1$  Фм.

Используем систему центра масс нейтрона и протона. В этой системе задача двухмерного  $pr$ -рассеяния сводится к движению квантовой частицы  $p_1$  с массой  $m_1$ , равной приведенной массе  $pr$ -системы, в поле короткодействующего потенциала  $V(x) = g_s V^s(r)$ , где  $x = r/d$ , а  $g_s \equiv 2m_1(d/\hbar)^2$ .

Поясним схему наших вычислений, выполненных с относительной точностью до десяти знаков. Функция  $a(x)$  вычислялась путем численного интегрирования нелинейного уравнения (17) или (18), а функция  $r_{\text{eff}}(x)$  рассчитывалась как соответствующий уже найденной функции  $a(x)$  однократный интеграл (25). Длина рассеяния  $a$  и эффективный радиус  $r_{\text{eff}}$  определялись как значения функций  $a(x)$  и  $r_{\text{eff}}(x)$  при настолько большом значении  $x'$  их аргумента  $x$ , что выполнялись условия

$$\left| \left| \frac{a(x')}{a(x' + 10)} \right| - 1 \right| < 10^{-10}, \quad \left| \left| \frac{r_{\text{eff}}(x')}{r_{\text{eff}}(x' + 10)} \right| - 1 \right| < 10^{-10}.$$

Далее вычислялись отношения  $\alpha(x)$  и  $\beta(x)$ , определенные как

$$\alpha(x) \equiv \frac{a(x)}{a(x')}, \quad \beta(x) \equiv \frac{r_{\text{eff}}(x)}{r_{\text{eff}}(x')}.$$
 (52)

Все вычисления были выполнены при  $x' = 1000$  для  $2\lambda = -1, 1, 3$ .

Таблица 1. Безразмерные длины  $a$  и эффективные радиусы  $r_{\text{eff}}$  синглетного двумерного  $pr$ -рассеяния.

$2\lambda$	$a$	$r_{\text{eff}}$
-1	-0.7114	5.7076
1	-2.5616	3.5035
3	-1.4595	12.023

Перед обсуждением результатов вычислений следует пояснить физический смысл отношений (52). Значения функций  $a(x)$  и  $r_{\text{eff}}(x)$  в произвольно выбранной точке  $x = b$  являются соответственно длиной рассеяния  $a$  и эффективным радиусом  $r_{\text{eff}}$  в случае потенциала  $V(x)$ , “обрезанного” в этой точке. Поэтому функции  $\alpha(x)$  и  $\beta(x)$  обладают прозрачным физическим смыслом: в той же точке  $x = b$  значения этих функций являются относительными вкладами от воздействия потенциала  $V(x)$  в выбранной области его аргумента  $0 \leq x \leq b$  в соответствующие значения длины рассеяния  $a$  и эффективного радиуса  $r_{\text{eff}}$ . Следовательно, значения функций  $\alpha(x)$  и  $\beta(x)$  позволяют ответить на следующий физически важный вопрос: в какой области аргумента  $x$  вклад потенциала  $V(x)$  в длину рассеяния  $a$  и эффективный радиус  $r_{\text{eff}}$  является пренебрежимо малым или, наоборот, определяющим?

Обсудим результаты вычислений. Найденные значения длин рассеяния и эффективных радиусов собраны в табл. 1.

Поведение функций  $a(x)$  и  $r_{\text{eff}}(x)$  в случае  $2\lambda = -1$  иллюстрирует рис. 3. Функция  $a(x)$  имеет нуль первого порядка в точке  $x = x_0 = 1.285\dots$ . В этой же точке функция  $r_{\text{eff}}(x)$  терпит разрыв второго рода. Вследствие этой особенности вклад от потенциала  $V(x)$ , включенного на интервале  $0 < x < x_0$ , в значение длины рассеяния  $a$  равен нулю. Графики функций  $a(x)$  и  $r_{\text{eff}}(x)$  весьма близки к своим горизонтальным асимптотам  $a(\infty) \equiv -0.7114\dots$  и  $r_{\text{eff}}(\infty) = 5.7076\dots$  при сравнительно малом значении  $x = x_0 \approx 4$  их аргумента  $x$ . Следовательно, в обсуждаемом случае  $2\lambda = -1$  на интервале  $x > x_0$  вклад от потенциала  $V(x)$  в значения  $a$  и  $r_{\text{eff}}$  длины рассеяния и эффективного радиуса невелик.

На рис. 4 изображены графики функций  $\alpha(x)$  и  $\beta(x)$ , вычисленные по формулам (52) в случаях  $2\lambda = 1, 3$ . В обоих случаях эти графики близки к их горизонтальным асимптотам  $\alpha(\infty) = 1$  и  $\beta(\infty) = 1$  в области  $x > x_1 \approx 15$  довольно больших значений аргумента  $x$ . Кроме того, значения функций  $\alpha(x)$  и  $\beta(x)$  принадлежат соответственно интервалам  $(0.5, 1)$  и  $(-0.5, 1)$ , если их аргумент изменяется на интервале  $(6, 15)$ . Следовательно, в рассмотренных случаях  $2\lambda = 1, 3$  на этом интервале вклад от потенциала  $V(x)$  в значения  $a$  и  $r_{\text{eff}}$  длин рассеяния и эффективных радиусов является определяющим.

Теперь отметим несколько особо значимых фактов. Потенциал Рида (51) является типичным представителем класса ядерных потенциалов, отталкивающих в области малых расстояний между ядрами и притягивающих в области больших расстояний. Следовательно, результаты выполненных расчетов, представленных выше в табл. 1 и на рис. 3 и 4, являются численным доказательством двух утверждений. Сформулируем их.

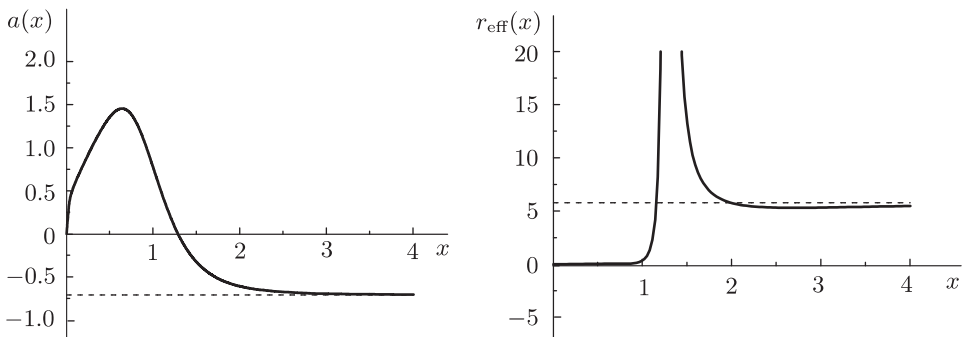


Рис. 3. Графики функций  $a(x)$  и  $r_{\text{eff}}(x)$  в случае  $2\lambda = -1$  (сплошные кривые) и их горизонтальные асимптоты  $f_a(x) \equiv a(\infty) = -0.7114\dots$  и  $f_r(x) \equiv r_{\text{eff}}(\infty) = 5.7076\dots$  (штриховые прямые).

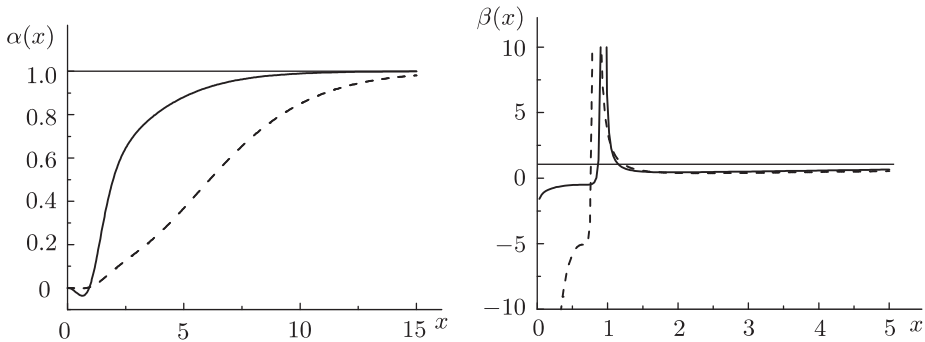


Рис. 4. Относительные вклады  $\alpha(x)$  и  $\beta(x)$ , определенные формулами (52) в случае  $2\lambda = 1$  (сплошные кривые) и в случае  $2\lambda = 3$  (штриховые кривые); тонкая прямая – функция  $f(x) \equiv 1$ .

Предлагаемый подход, который основан на нелинейных уравнениях (17) или (18) и интегральном представлении (25), является экономичным с вычислительной точки зрения методом. Этот метод позволяет не только рассчитать с высокой точностью коэффициенты  $a$  и  $r_{\text{eff}}$ , но и выявить прозрачным с физической точки зрения способом области расстояний, в которых вклад потенциала в такие коэффициенты является определяющим или, наоборот, несущественным.

Покажем, что все пять известных к настоящему времени методов вычисления параметров  $a$  и  $r_{\text{eff}}$  двумерного низкоэнергетического рассеяния менее эффективны по сравнению с нашим подходом.

Один из таких методов, основанный на рекуррентных системах линейных уравнений (28), (30) и (33), (35), (37), уже обсуждался в разделе 3.

Второй метод детально пояснен в работе [16]. Этот метод применим только в случае  $2\lambda = -1$  и реализуется по следующей схеме. Длиной рассеяния  $a'$  и эффективным радиусом  $r'_{\text{eff}}$  считаются коэффициенты асимптотики (8). В исходном уравнении

нии Шредингера (2) полагается  $\lambda = -1/2$  и  $q = 0$ . Затем вычисляется регулярное в начальной точке  $x = 0$  решение  $\tilde{u}(x)$  получившегося уравнения. Следующий этап заключается в последовательном вычислении двух интегралов

$$X_1 \equiv \int_0^\infty dx \sqrt{x} V(x) \tilde{u}(x), \quad X_2 \equiv \int_0^\infty dx \sqrt{x} \ln x V(x) \tilde{u}(x),$$

и далее длина рассеяния  $a'$ , функция  $v(x)$  и эффективный радиус  $r'_{\text{eff}}$  находятся по формулам

$$a' = e^{(X_2 - 1)/X_1}, \quad v(x) = \sqrt{x} \ln \frac{x}{a'}, \quad r'_{\text{eff}} = 2 \int_0^\infty dx [v^2(x) - \tilde{u}^2(x)].$$

Третий, четвертый и пятый методы вычисления коэффициентов  $a$  и  $r_{\text{eff}}$  реализуются по одной и той же схеме: сначала вычисляются значения фазы рассеяния  $\delta_\lambda(q)$  при нескольких достаточно малых положительных значениях  $q_i$ ,  $i = 1, 2, \dots, n+1$ , волнового числа  $q$ , затем найденные значения  $\delta_\lambda(q_i)$  используются для экстраполяции функции эффективного радиуса (9) в точку  $q = 0$ .

В третьем методе [1], [3] для определения значения  $\delta_\lambda(q_i)$  фазы рассеяния используется асимптотика (4) предварительно вычисленного решения  $u_\lambda(x, q_i)$  задачи Шредингера (2)–(4).

В четвертом методе [5] ключевым является нелинейное уравнение (15). В этом уравнении полагается  $m = \lambda + 1/2$  и  $q = q_i$ . Получившееся уравнение численно интегрируется на конечном отрезке  $[0, x_{\max}]$  достаточно большой длины ( $x_{\max} \gg 1$ ), а затем значение  $\delta_\lambda(q_i)$  фазы рассеяния определяется по формуле

$$\delta_\lambda(q_i) \sim \arctg T(x_{\max}; q_i).$$

Пятый метод [20], [21] основан на системе линейных уравнений для амплитудных функций  $c(x; q)$  и  $s(x; q)$ , подчиненных в начальной точке  $x = 0$  граничным условиям  $c(x; q) = 1$ ,  $s(x; q) = 0$ . Следуя работе [21], используем определения (7), (12)–(14) функций  $h(q)$ ,  $j_\lambda$ ,  $n_\lambda$ , запишем систему для амплитудных функций в виде

$$\begin{aligned} \partial_r c(x; q) &= -\frac{1}{q} V(x) [c(x; q) j_\lambda(\rho) - s(x; q) n_\lambda(\rho)] n_\lambda(\rho), \\ \partial_x s(x; q) &= -\frac{1}{q} V(x) [c(x; q) j_\lambda(\rho) - s(x; q) n_\lambda(\rho)] j_\lambda(\rho), \end{aligned} \quad x > 0, \quad (53)$$

и выразим тангенс фазы рассеяния через эти функции:

$$\operatorname{tg} \delta_\lambda(q) = \lim_{x \rightarrow \infty} \operatorname{tg} \delta_\lambda(x; q), \quad \operatorname{tg} \delta_\lambda(x; q) \equiv \frac{s(x; q)}{c(x; q) + h(q)s(x; q)}.$$

Во всех трех упомянутых выше методах для нахождения коэффициентов  $a$  и  $r_{\text{eff}}$  по предварительно вычисленным значениям  $\delta_\lambda(q_i)$ ,  $i = 1, 2, \dots, n+1$ , фазы рассеяния  $\delta_\lambda(q)$  приходится известным в вычислительной математике способом [30] решать задачу экстраполяции таблично заданной функции полиномом конечной степени. Сформулируем эту задачу следующим образом: используя определение (9) функции эффективного радиуса  $K(q)$  и ее представление в виде бесконечного ряда по

четным степеням аргумента  $q$ , требуется вычислить коэффициенты  $a$  и  $r_{\text{eff}}$  низкоэнергетической асимптотики (11) этой функции.

Опишем метод решения поставленной задачи. Сначала по формуле (9) вычисляются все значения  $K(q_i)$ ,  $i = 1, 2, \dots, n + 1$ , функции  $K(q)$ , отвечающие известным значениям  $\delta_\lambda(q_i)$  фазы рассеяния  $\delta_\lambda(q)$ . Затем функция  $K(q)$  аппроксимируется полиномом  $K_n(q)$  таким, что

$$K_n(q) = \sum_{i=1}^{n+1} K_i q^{2(i-1)}, \quad K_i \equiv K(q_i), \quad i = 1, 2, \dots, n + 1.$$

Далее этот полином и его вторая производная вычисляются в точке  $q = 0$ . В итоге для коэффициентов  $a$  и  $r_{\text{eff}}$  получаются следующие экстраполяционные приближения:

$$a \approx -\frac{1}{K_n(0)} = -\frac{1}{K_1}, \quad r_{\text{eff}} \approx \partial_q^2 K_n(q)|_{q=0} = 2K_2.$$

Как известно [30], точность экстраполяционных приближений улучшается с ростом числа известных значений аппроксимируемой функции. Поэтому для вычисления длины рассеяния  $a$  и эффективного радиуса  $r_{\text{eff}}$  третьим, четвертым или пятым методами приходится неоднократно интегрировать уравнения (2), (15) или (53). Следовательно, эти методы менее экономичны, чем предлагаемый подход, в котором для вычисления коэффициентов  $a$  и  $r_{\text{eff}}$  с высокой точностью и при любом значении квантового числа  $\lambda$  достаточно один раз численно решить уравнение (17) или уравнение (18), а затем вычислить один интеграл (25).

## 6. ОПРЕДЕЛЕНИЯ ДЛИНЫ РАССЕЯНИЯ И ЭФФЕКТИВНОГО РАДИУСА В ОСОБЫХ СЛУЧАЯХ

Обсудим ряд (10) и его низкоэнергетическую (при  $q \rightarrow +0$ ) асимптотику (11) в бесконечно удаленной точке  $x = \infty$ . При длине рассеяния  $a = 0$  первое слагаемое суммы (11) неограничено, и поэтому сумма не является низкоэнергетической асимптотикой ряда (10) при  $x = \infty$ . В случае бесконечно большой по модулю длины рассеяния (при  $a = \pm\infty$ ) первое слагаемое обсуждаемой суммы равно нулю, а второе будет неограниченным по модулю, если  $r_{\text{eff}} = \pm\infty$ . Следовательно, и в этом случае ряд (10) в точке  $x = \infty$  имеет иную асимптотику.

Для анализа двух указанных выше случаев нам потребуются известные представления [21] функций  $K(x; q)$ ,  $a(x)$ ,  $r_{\text{eff}}(x)$  и  $P(x)$  через компоненты  $c_n(x)$  и  $s_n(x)$ , а также основные свойства этих компонент [21]. На всей полуоси  $x > 0$  функция  $K(x; q)$  представляет собой дробь,

$$K(x; q) = \tau \frac{c_0(x) + q^2 c_1(x) + q^4 c_2(x) + \dots}{s_0(x) + q^2 s_1(x) + q^4 s_2(x) + \dots}, \quad (54)$$

функции  $a(x)$  и  $r_{\text{eff}}(x)$  определяются формулами (26) и (31), а функция  $P(x)$  задается как

$$P(x) = -\frac{1}{r_{\text{eff}}^3(x)} \frac{1}{2s_0(x)} \left( 2\tau c_2(x) - s_2(x) \frac{c_0(x)}{s_0(x)} - s_1(x)r_{\text{eff}}(x) \right), \quad (55)$$

причем компоненты  $c_0(x)$  и  $s_0(x)$  не имеют общих нулей. Перечислим важные следствия указанного свойства компонент  $c_0(x)$  и  $s_0(x)$ .

Пусть в некоторой точке  $x = b > 0$  компонента  $s_0(x)$  имеет нуль первого порядка. Тогда в этой точке компонента  $c_0(x)$  отлична от нуля, и в силу равенств (26) и (31) функция  $a(x)$  имеет нуль первого порядка, а функция  $r_{\text{eff}}(x)$  имеет полюс первого или второго порядка, если соответственно  $s_1(b) = 0$  или  $s_1(b) \neq 0$ . Согласно рис. 1а, рис. 1б и формулам (38)–(40) для притягивающего потенциала прямоугольной формы первый случай реализуется при  $2\lambda = -1$ , а второй – при  $2\lambda \geq 1$ . Теперь предположим, что некоторая точка  $x = b > 0$  является нулем первого порядка компоненты  $c_0(x)$ . Тогда в этой точке компонента  $s_0(x)$  отлична от нуля и вследствие соотношений (26) и (31) функция  $a(x)$  имеет полюс первого порядка, а функция  $r_{\text{eff}}(x)$  принимает конечное ненулевое или нулевое значение. Как следует из рис. 1в и формул (42), для отталкивающего потенциала прямоугольной формы второй случай имеет место при  $2\lambda = -1$ .

Приступим к анализу особых случаев  $a = 0$  и  $a = \pm\infty$ . Для сокращения записи предельные при  $x \rightarrow \infty$  значения используемых функций  $K(x; q)$  и  $K^\pm(x; q)$  будем обозначать как  $K(q)$  и  $K^\pm(q)$ , а значения всех компонент  $c_n(x)$ ,  $s_n(x)$  и функций  $a(x)$ ,  $r_{\text{eff}}(x)$ ,  $a^\pm(x)$ ,  $r_{\text{eff}}^\pm(x)$  в точке  $x = \infty$  – соответственно символами  $c_n$ ,  $s_n$  и  $a$ ,  $r_{\text{eff}}$ ,  $a^\pm$ ,  $r_{\text{eff}}^\pm$ .

Начнем с первого случая. Пусть  $a = 0$ . Тогда согласно равенству (26) имеем  $s_0 = 0$ , но  $c_0 \neq 0$ . Предположим, что  $s_1 \neq 0$ . В области  $x \gg 1$  введем функцию

$$K^+(x; q) \equiv \tau \frac{c_0(x) + q^2 c_1(x) + q^4 c_2(x) + \dots}{q^2 s_1(x) + q^4 s_2(x) + \dots} = -\frac{1}{a^+(x)} + \frac{q^2}{2} r_{\text{eff}}^+(x) + \dots, \quad (56)$$

где по определению

$$a^+(x) \equiv -\frac{s_1(x)}{\tau c_0(x)}, \quad r_{\text{eff}}^+(x) \equiv \frac{2\tau}{s_1(x)} \left( c_1(x) - s_2(x) \frac{c_0(x)}{s_1(x)} \right). \quad (57)$$

Перейдем к пределу  $x \rightarrow \infty$ . В этом пределе благодаря равенству  $s_0 = 0$  из представлений (54) и (56) следует связь  $q^2 K^+(q) = K(q)$ , а формулы (26), (31), (55) и (57) порождают соотношения

$$a^+ \equiv \lim_{x \rightarrow \infty} a^+(x) = \frac{1}{2} \lim_{x \rightarrow \infty} [a^2(x) r_{\text{eff}}(x)], \quad (58)$$

$$r_{\text{eff}}^+ \equiv \lim_{x \rightarrow \infty} r_{\text{eff}}^+(x) = 2 \lim_{x \rightarrow \infty} \frac{a(x) - 4r_{\text{eff}}(x)P(x)}{a^2(x)}. \quad (59)$$

Используя определение (11) функции эффективного радиуса  $K(q)$  через фазу рассеяния  $\delta_\lambda(q)$ , связь  $q^2 K^+(q) = K(q)$  и равенство (56), взятое при  $x = 0$ , получаем искомые представления:

$$K^+(q) \equiv q^{2\lambda+3} [\operatorname{ctg} \delta_\lambda(q) - h(q)] = -\frac{1}{a^+} + \frac{q^2}{2} r_{\text{eff}}^+ + \dots. \quad (60)$$

Эти представления означают, что в рассмотренном случае  $a = 0$  вместо функции эффективного радиуса  $K(q)$ , нулевой длины рассеяния  $a$  и эффективного радиуса  $r_{\text{eff}}$  следует использовать функцию эффективного радиуса  $K^+(q)$ , ненулевую

длину рассеяния  $a^+$  и конечный эффективный радиус  $r_{\text{eff}}^+$ , определенные формулами (58) и (59).

Теперь исследуем второй особый случай. Положим  $|a| = \infty$ . Тогда из равенства (26) следует, что  $c_0 = 0$ , но  $s_0 \neq 0$ . Предположим, что  $c_1 \neq 0$ . В области  $x \gg 1$  введем функцию

$$K^-(x; q) \equiv \tau \frac{q^2 c_1(x) + q^4 c_2(x) + \dots}{s_0(x) + q^2 s_1(x) + q^4 s_2(x) + \dots} = -\frac{1}{a^-(x)} + \frac{q^2}{2} r_{\text{eff}}^-(x) + \dots, \quad (61)$$

а функции  $a^-(x)$  и  $r_{\text{eff}}^-$  определим формулами

$$a^-(x) \equiv -\frac{s_0(x)}{\tau c_1(x)}, \quad r_{\text{eff}}^-(x) \equiv \frac{2\tau}{s_0(x)} \left( c_2(x) - s_1(x) \frac{c_1(x)}{s_0(x)} \right). \quad (62)$$

В пределе  $x \rightarrow \infty$  благодаря равенству  $c_0 = 0$  представления (54) и (61) порождают связь  $q^{-2} K^-(q) = K(q)$ , а из формул (26), (31), (55) и (62) следуют соотношения

$$a^- = -\frac{2}{r_{\text{eff}}}, \quad r_{\text{eff}}^- = r_{\text{eff}}^3 P. \quad (63)$$

Используя определение (11) функции  $K(q)$ , связь  $q^{-2} K^-(q) = K(q)$  и равенство (61), взятое при  $x = \infty$ , получаем искомые представления:

$$K^-(q) \equiv q^{2\lambda-1} [\operatorname{ctg} \delta_\lambda(q) - h(q)] = -\frac{1}{a^-} + \frac{q^2}{2} r_{\text{eff}}^- + \dots. \quad (64)$$

Согласно этим представлениям в рассмотренном случае  $|a| = \infty$  вместо функции эффективного радиуса  $K(q)$ , бесконечно большой по модулю длины рассеяния  $a$  и ненулевого эффективного радиуса  $r_{\text{eff}}$  следует использовать функцию эффективного радиуса  $K^-(q)$ , конечную и ненулевую длину рассеяния  $a^-$  и конечный эффективный радиус  $r_{\text{eff}}^-$ , определенные формулами (63).

## 7. ЗАКЛЮЧЕНИЕ

Суммируем основные результаты настоящей работы.

В разделе 3 нелинейная версия метода фазовых функций расширена на случай двумерного рассеяния квантовой частицы центральным короткодействующим потенциалом. Расширение заключается в выводе и качественном анализе новых уравнений (16)–(24), предназначенных для вычисления функции эффективного радиуса, длины рассеяния и эффективного радиуса.

В разделе 4 получены точные решения (38)–(44) уравнений (17)–(21) в случае потенциала прямоугольной формы и исследована зависимость длины рассеяния и эффективного радиуса от ширины такого потенциала.

В разделе 5 впервые вычислены длина и эффективный радиус двумерного рассеяния нейтрона на протоне в случае потенциала Рида с мягким кором. Для вычисления использованы уравнения (17), (18) и интегральное представление (25). Показано, что такой подход является наиболее экономичным и информативным по сравнению со всеми известными методами вычисления длины и эффективного радиуса двумерного рассеяния.

В разделе 6 исследованы два особых случая  $a = 0$ ,  $|a| = \infty$  и в этих случаях предложены новые определения (58)–(60) и (63), (64) функции эффективного радиуса  $K^\pm(q)$ , длины рассеяния  $a^\pm$  и эффективного радиуса  $r_{\text{eff}}^\pm$ . Следует отметить, что уравнения (16)–(24), их точные решения (38)–(44) и представления (58), (59) и (63) параметров  $a^\pm$  и  $r_{\text{eff}}^\pm$  получены для любого значения квантового числа  $\lambda$ .

Поясним возможное применение перечисленных выше результатов. Вычислив длину рассеяния и эффективный радиус и используя затем асимптотику (11), мы можем найти низкоэнергетическое приближение фазы  $\delta_\lambda(q)$ , а затем по формуле (5) определить соответствующее приближение сечения  $\sigma_\lambda(q)$ . Анализ таких приближений дан в работе [21].

Используя известные длину рассеяния и эффективный радиус, с помощью метода, предложенного в работе [25], можно вычислить энергии слабосвязанных и около-пороговых состояний квантовой частицы, движущейся в двумерной плоскости в поле центрального короткодействующего потенциала. Найденные длина и эффективный радиус позволяют по формулам, впервые полученным в работе [26], построить низкоэнергетические асимптотики всех парциальных сечений  $\sigma_\lambda(q)$  при наличии таких состояний.

Представления (38)–(44) длины рассеяния и эффективного радиуса через функции Бесселя в случае потенциала прямоугольной формы и соответствующие таким представлениям приближения парциальных фаз и сечений предлагается использовать в теоретической физике ультрахолодных газов для моделирования упругого двумерного рассеяния в системе двух атомов или молекул. Полученные для данного потенциала представления (45)–(50) компонент  $c_n(x)$  и  $s_n(x)$  через функции Бесселя позволяют на основе известного метода [21] найти явную низкоэнергетическую асимптотику радиальной волновой функции  $u_\lambda(x; q)$  двумерного относительного движения двух атомов или молекул.

## Список литературы

- [1] Л. Д. Ландау, Е. М. Лифшиц, *Теоретическая физика, т. 3: Квантовая механика. Нелинейистская теория*, Наука, М., 2004.
- [2] В. де Альфаро, Т. Редже, *Потенциальное рассеяние*, Мир, М., 1966.
- [3] Дж. Тейлор, *Теория рассеяния*, Мир, М., 1975.
- [4] Ф. Калоджеро, *Метод фазовых функций в теории потенциального рассеяния*, Мир, М., 1976.
- [5] В. В. Бабиков, *Метод фазовых функций в квантовой механике*, Наука, М., 1976.
- [6] Дж. Е. Браун, А. Д. Джексон, *Нуклон-нуклонные взаимодействия*, Энергоатомиздат, М., 1979.
- [7] H. A. Bethe, *Phys. Rev.*, **76**:1 (1949), 38–50.
- [8] G. Modugno, F. Ferlanio, R. Heidemann, G. Roati, M. Inguscio, *Phys. Rev. A.*, **68** (2003), 011601, 4 pp.
- [9] P. Clade, C. Ryu, A. Ramanathan, K. Helmerson, W. D. Phillips, *Phys. Rev. Lett.*, **102**:17 (2009), 170401, 4 pp.
- [10] L. D. Carr, D. DeMille, R. V. Krems, J. Ye, *New J. Phys.*, **11** (2009), 055049, 87 pp.
- [11] F. Serwane, G. Zürn, T. Lompe, T. B. Ottenstein, A. N. Wenz, S. Jochim, *Science*, **332**:6027 (2011), 336–338.
- [12] I. R. Lapidus, *Amer. J. Phys.*, **50**:1 (1982), 45–47.

- [13] I. R. Lapidus, *Amer. J. Phys.*, **54**:5 (1986), 459–461.
- [14] B. J. Verhaar, J. P. H. W. van den Eijnde, M. A. J. Voermans, M. M. J. Schaffrath, *J. Phys. A*, **17**:3 (1984), 595–598.
- [15] B. J. Verhaar, L. P. H. de Goey, J. P. H. W. van den Eijnde, E. J. D. Vredenbregt, *Phys. Rev. A*, **32**:3 (1985), 1424–1429.
- [16] N. N. Khuri, A. Martin, J.-M. Rishard, T. T. Wu, *J. Math. Phys.*, **50**:7 (2009), 072105, 17 pp., arXiv:0812.4054.
- [17] D. Bollé, F. Gesztesy, *Phys. Rev. Lett.*, **52**:17 (1984), 1469–1472.
- [18] D. Bollé, F. Gesztesy, *Phys. Rev. A*, **30**:3 (1984), 1279–1293.
- [19] S. K. Adhikari, W. G. Gibson, *Phys. Rev. A*, **46**:7 (1992), 3967–3977.
- [20] S. A. Rakityansky, N. Elander, *J. Phys. A*, **45**:13 (2012), 135209, 28 pp., arXiv:1201.0172.
- [21] В. В. Пупышев, *ЯФ*, **77**:5 (2014), 699–710.
- [22] S. K. Adhikari, *Amer. J. Phys.*, **54**:4 (1986), 362–366.
- [23] P. G. Averbuch, *J. Phys. A*, **19**:12 (1986), 2325–2335.
- [24] B. Simon, *Ann. Phys.*, **97**:2 (1976), 279–288.
- [25] В. В. Пупышев, *ТМФ*, **179**:1 (2014), 102–122.
- [26] В. В. Пупышев, *Приближение эффективного радиуса в задаче двумерного рассеяния квантовой частицы центральным короткодействующим потенциалом*, Препринт Р4-2013-85, ОИЯИ, Дубна, 2013.
- [27] Дж. Сансоне, *Обыкновенные дифференциальные уравнения*, т. 1, ИЛ, М., 1953.
- [28] Q.-G. Lin, *Amer. J. Phys.*, **65**:10 (1997), 1007–1009.
- [29] М. Абрамовиц, И. Стиган (ред.), *Справочник по специальным функциям с формулами, графиками и математическими таблицами*, Наука, М., 1979.
- [30] Ю. С. Завьялов, Б. И. Квасов, В. Л. Мирошниченко, *Методы сплайн-функций*, Наука, М., 1980.

Поступила в редакцию 29.07.2013,  
после доработки 20.05.2014